



J-PARCニュートリノビームの大強度化 に向けた非破壊型ビームプロファイ ルモニター用ガスシステムの研究

中村亞津志

小汐 由介、Megan Friend^A、Mark Hartz^B、
Christophe Bronner^C、坂下 健^A、Son Cao^A

岡大理 KEK素核研^A 東大力ブリIPMU(WPI)^B 東大宇宙線研^C

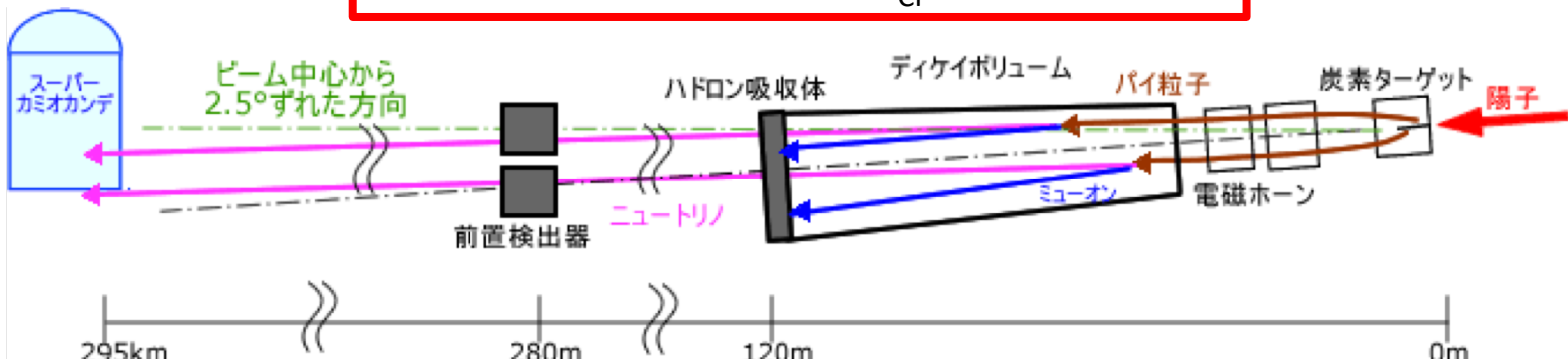
目次

1. T2K実験におけるJ-PARC陽子ビーム
 - ・陽子ビーム増強とビームモニター
 - ・Beam Induced Fluorescence (BIF) モニター
2. テストチェンバーによる真空実験
 - ・平衡状態
 - ・パルス的供給

T2K実験



ニュートリノ振動における δ_{CP} の高精度測定



<T2K実験におけるニュートリノビームライン>

大強度陽子ビームとビームモニター

<ビームライン上のビームモニター(SSEM)>

<陽子ビームの増強>

現在: 470 kW

-> 1.3 MWまで増強し、 δ_{CP} を高精度で測定

- ・破壊型ビームモニター(SSEM)ではモニターの寿命低下、損傷の恐れがある

→ 非破壊型ビームモニター

ここに
ビームが当たる



- ・ビーム損失の割合: 5×10^{-5} (SSEM1台あたり)

<BIFモニターの模式図>

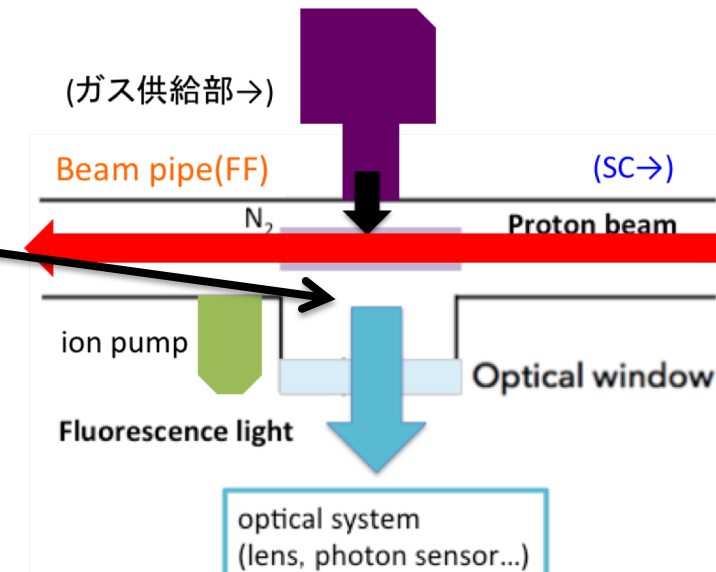
Beam Induced Fluorescence(BIF) monitor

- ・ビームライン上のガス分子(N_2)と陽子の相互作用から発生する蛍光を利用

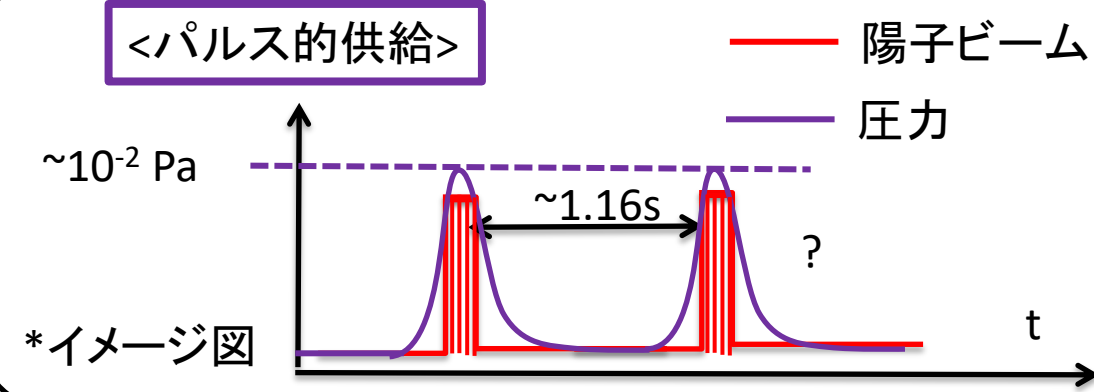
- ・設置予定場所の圧力 $10^{-6} Pa$ では光量が不足

→ 1000光子検出するのに $10^{-2} Pa$ が必要

- ・ビーム損失の割合: 10^{-9} ($10^{-2} Pa$ の場合)



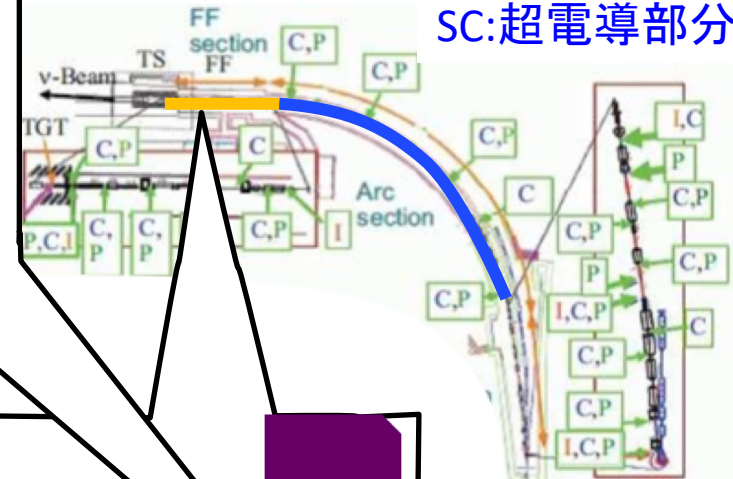
BIFモニターの圧力系



<一次陽子ビームライン>

FF:最終収束部(常伝導)

SC:超電導部分



・他のビームパイプの真空保護

常伝導部分(FF)

... $10^{-6} \sim 10^{-5}$ Pa

超電導部分(SC)

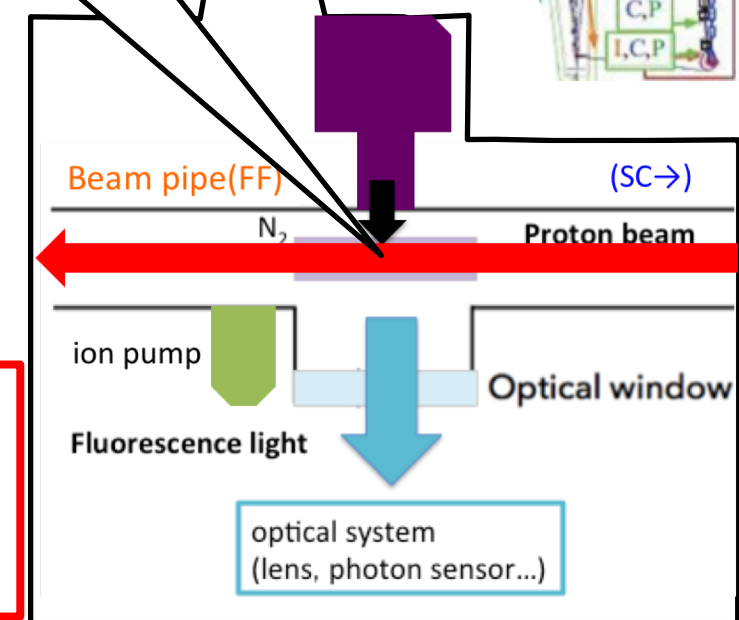
... 10^{-8} Pa

・イオンポンプの保護

パルス的なガス供給・排気システムの構築

→入れる総ガス量を抑え、他の真空部分を保護

→パルス的ガス供給の構築のため、テストチャンバーを用いた排気速度・供給ガス量の測定及び理解



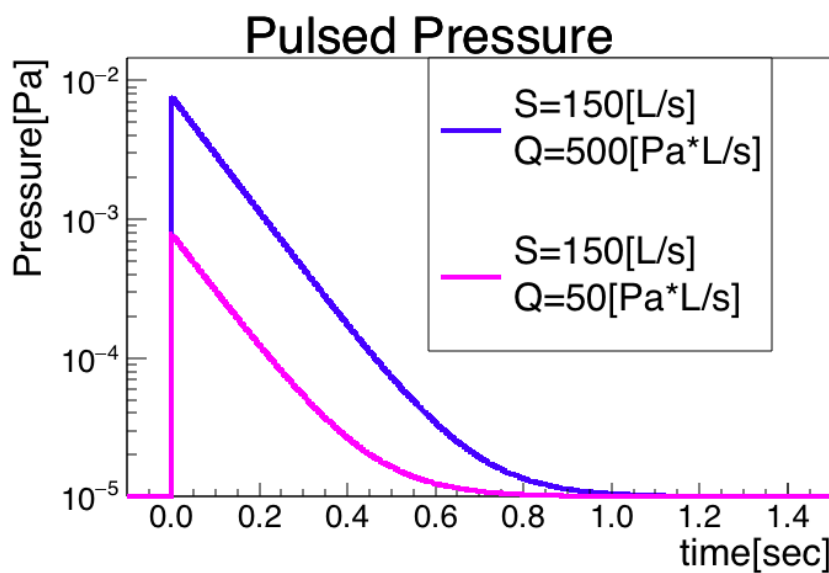
パルス的ガス供給時の圧力変化

- ごく短い時間(数百μs)に、一定の流量が流れた時の圧力の時間変化

$$P(t) = \begin{cases} \frac{Q}{S}(1 - e^{-\frac{S}{V}t}) + P_f & (t_{open} < t \leq t_{close}) \\ P(t = t_{close}) e^{-\frac{S}{V}(t-t_{close})} + P_f & (t_{close} < t) \end{cases}$$

P[Pa]:圧力、Q[Pa*L/s]: (質量)流量、t[s]:時間、
V[L]: チェンバ一体積、S[L/s]: 排気速度

<圧力変化の例>



・パラメータ

$Q=500(\text{high}), 50(\text{low})[\text{Pa}^*\text{L}/\text{s}]$ 、
 $t_{open}=0 [\text{s}]$ 、
 $t_{close} [\text{s}] = t_{open} + (\text{供給バルブの開時間})$
 $= t_{open} + (400\mu\text{s})$

$V=15.6 [\text{L}]$ 、 $P_f=1e-5 [\text{Pa}]$

今日の内容

- ・テストチェンバーを用いた排気速度Sとガス供給量Qの測定
- ・測定された圧力パルスと予想圧力変化を比較

目次

1. T2K実験におけるJ-PARC陽子ビーム
 - ・陽子ビーム増強とビームモニター
 - ・Beam Induced Fluorescence (BIF) モニター
 - ・BIF圧力系
2. テストチェンバーによる真空実験
 - ・平衡状態
 - ・パルス的供給

テストチャンバー

<供給部>

- ・パルスバルブ



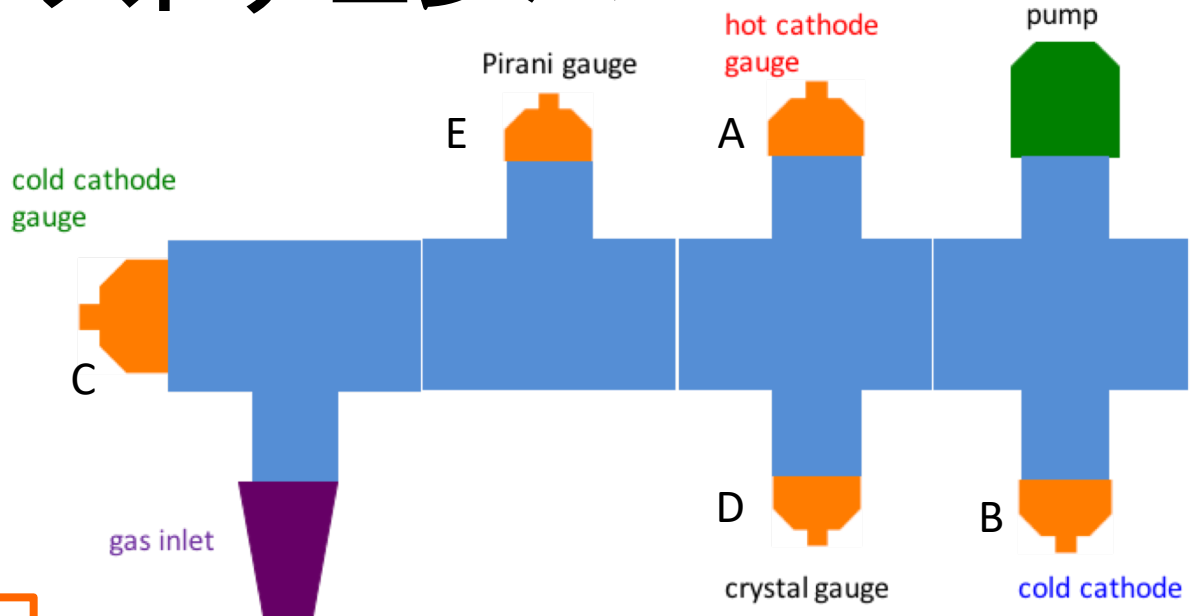
<真空計>

A: 热陰極電離真空計
($10^{-2} \sim 10^{-7}$ Pa)

B,C: 冷陰極電離真空計
(1~ 10^{-6} Pa)

D: クリスタルゲージ
($10^5 \sim 10^{-2}$ Pa)

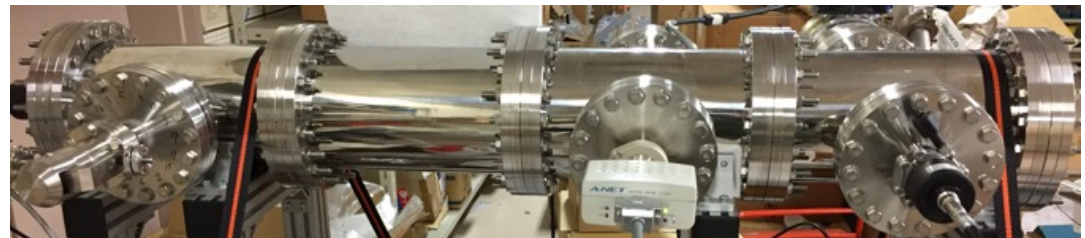
E: ピラニーゲージ
($10^5 \sim 10^{-2}$ Pa)



全長: 1020 mm
体積: 21.8 [L]

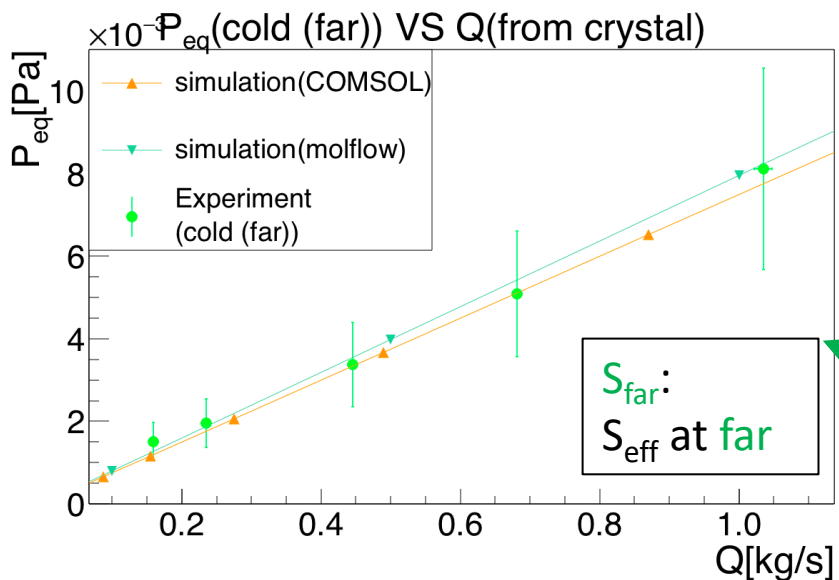
<真空ポンプ>

- ・ロータリーポンプ
- ・ターボ分子ポンプ
(排気速度: 210L/s)



テストチャンバーの側面図

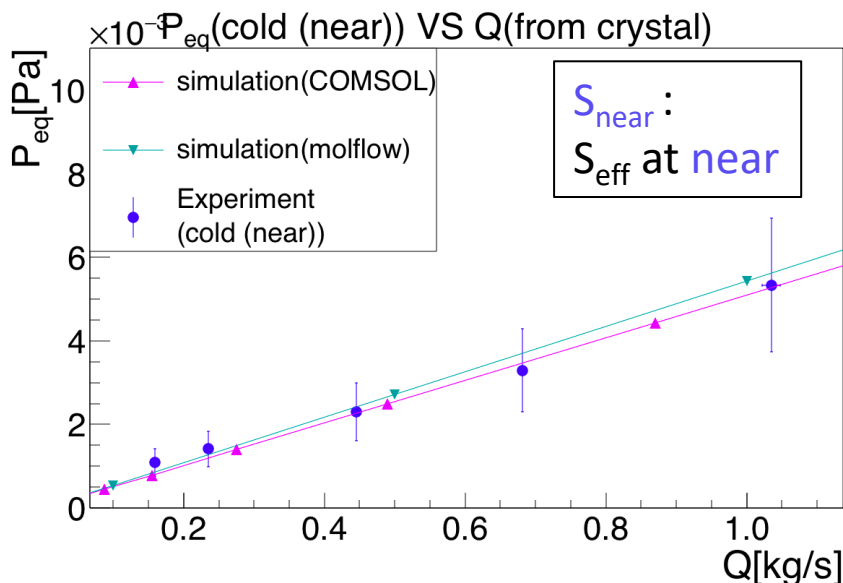
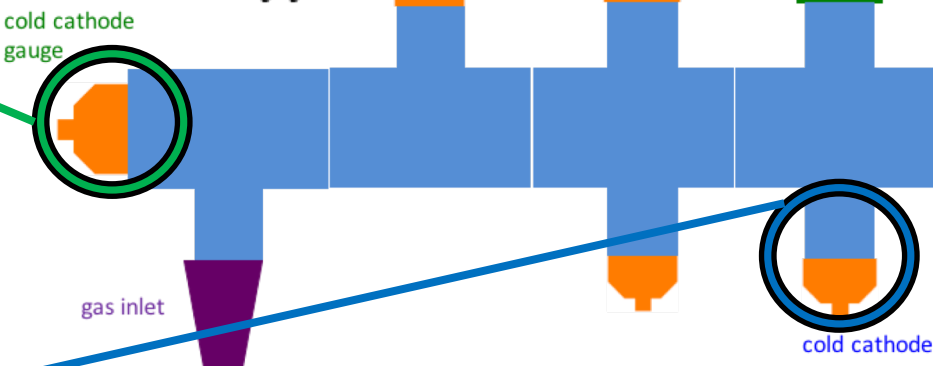
実効排気速度(S_{eff})の結果



・平衡状態

P_{eq} [Pa]: 平衡圧力
 Q [$\text{Pa}^* \text{L}/\text{s}$]: 流入量(既知)
 S_{eff} [L/s]: 実効排気速度

$$P_{eq} = \frac{Q}{S_{eff}}$$



	S_{far} [L/s]	S_{near} [L/s]
COMSOL (シミュレーション)	133	193
Molflow (シミュレーション)	126	183
実験 (30%の不定性)	140 ± 24	222 ± 64

シミュレーションは結果と無矛盾

パルスバルブによるパルス供給実験

(1) パルス供給時の流量測定(ポンプOFF)

- ポンプOFFで1~Pa 下、20秒間隔でバルブ10回を開いた時の圧力上昇(ΔP)と体積V($=21.8\text{ L}$)より流量を定義

$$Q = V \frac{\Delta P}{\Delta t} = V \frac{\Delta P}{10 \times (\text{ONTIME})}$$

ON TIME[μs]	300	400	500	600
Q[Pa*L/s]	283	1196	3098	7144

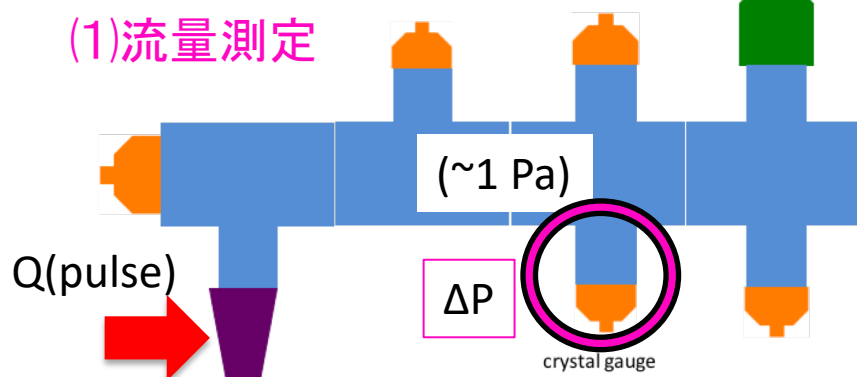
(2) 圧力パルスの測定(ポンプON)

- 高真空(10^{-5} Pa)下、ポンプONでの圧力変化を測定
- 冷陰極電離真空計(P_{far} , P_{near})からの信号をデータロガーで記録
- 5分ごとにパルス供給

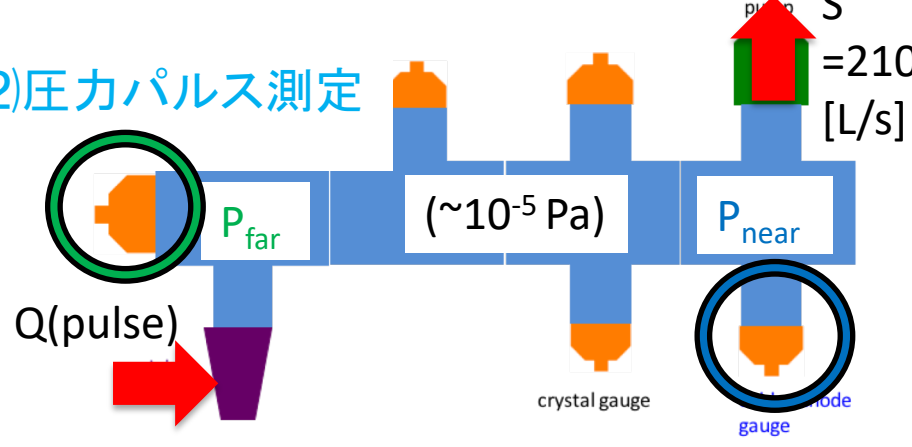
ONTIME(開時間): $300\sim600\mu\text{s}$
コントローラー パルスバルブ



(1) 流量測定

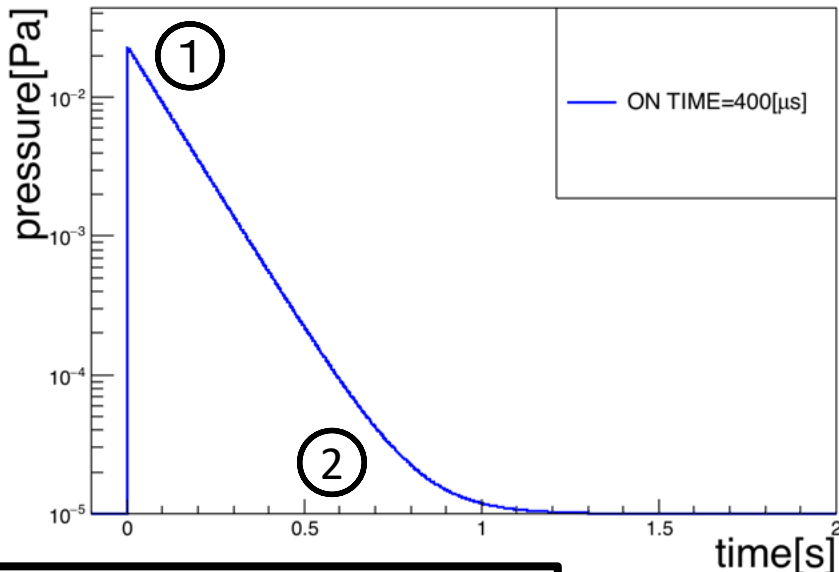


(2) 圧力パルス測定



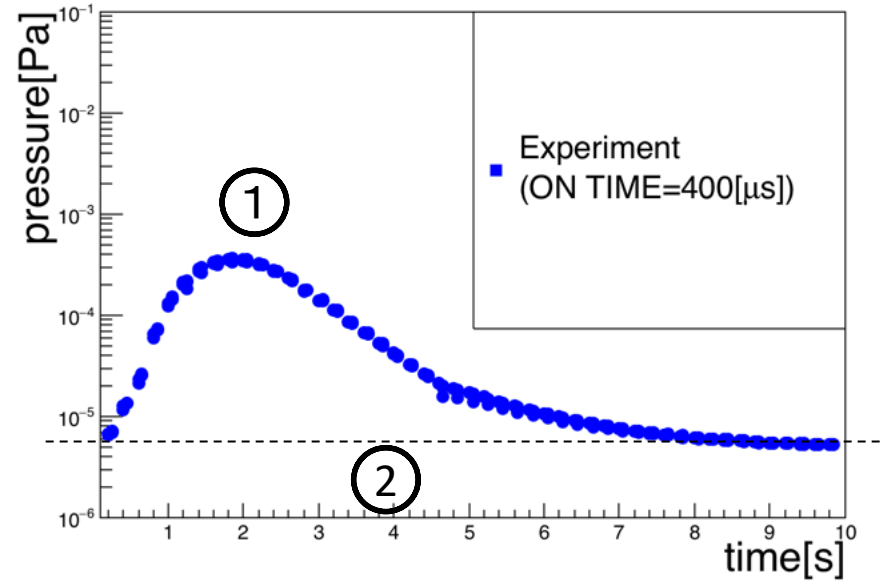
パルス実験結果と予想の比較

$P(t)$:シミュレーション+パルス流量
からの予想圧力変化(near)
expected pressure pulse(near)



測定結果(点、nearでの5パルス分)

Experimental result



・測定結果

①ピークが低い
(約100倍の差)

②パルス幅が広い
...予想: ~1 s で元に戻る
測定: 7~8 sかかっている

・真空計の応答によるもの?

・実際の圧力変化?(拡散の考慮)

・応答関数による圧力パルスの理解(Convolution)

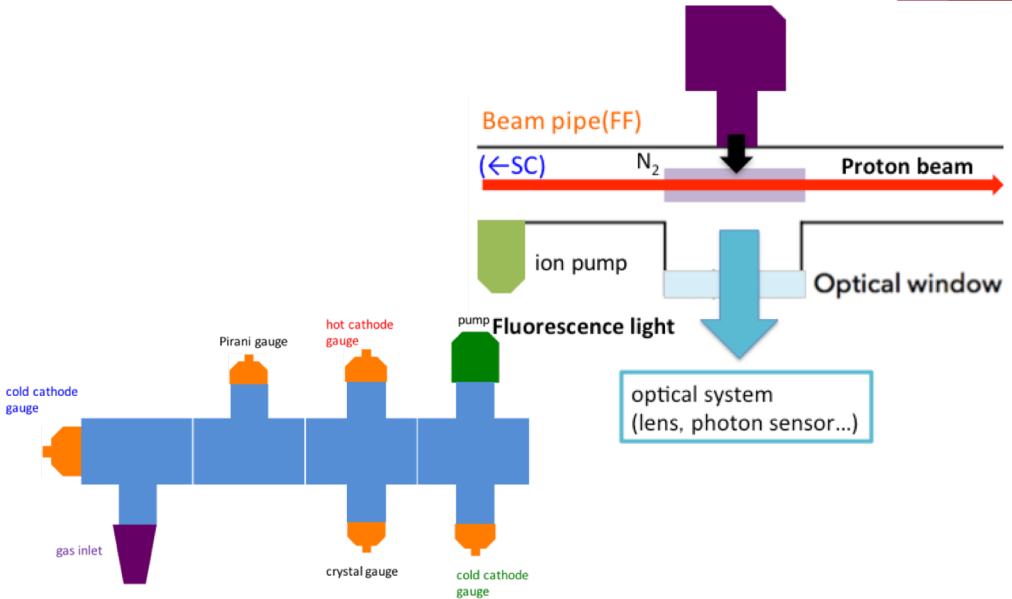
・圧力変化 $P(t)$ のシミュレーション(計算中)

まとめ

- ・非破壊型のBIFモニターは高強度化した陽子ビームに対応可能
- ・ガスをパルス供給するシステムの研究が進行中

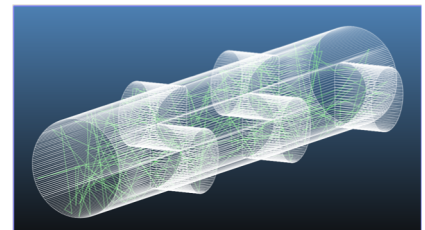


- ・排気速度...平衡状態の実験
 - 実験とシミュレーションは無矛盾
- ・パルス供給
 - 真空計の応答の考慮が必要
 - 実際の圧力変化(拡散)の考察も必要



<今後の計画>

- ・シミュレーションによるパルス的供給時の圧力シミュレーション
- ・別の応答関数を用いた測定圧力の解析



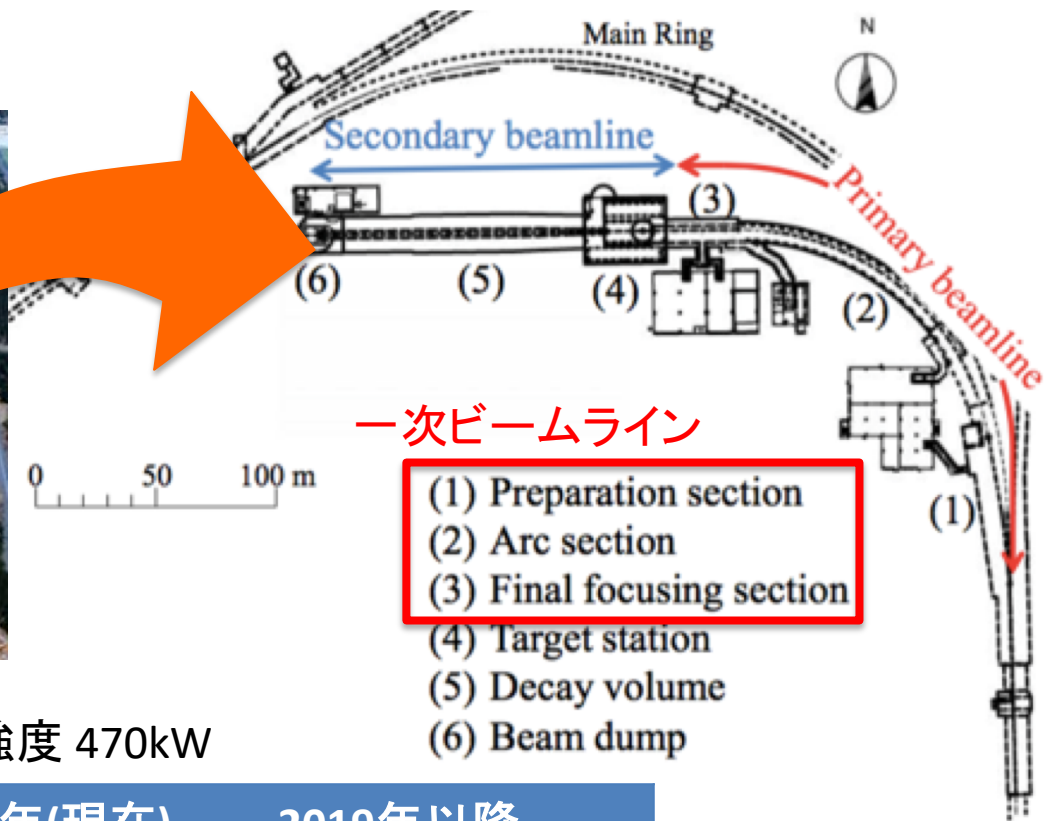
Back up

T2K 陽子ビームライン

<J-PARC>



陽子ビーム...エネルギー 30 GeV、強度 470kW



	2017年(現在)	2019年以降
取り出し周期	2.48 s	1.3s →1.16 s
陽子数	2.2×10^{14} 個/spill	3.2×10^{14} 個/spill
ビーム強度	470 kW	750 kW → 1.3 MW

ビームモニター

- ・陽子ビームの強度、位置、幅を測定する機器

<役割>

1. 陽子ビームの実測

2. 陽子ビームの監視

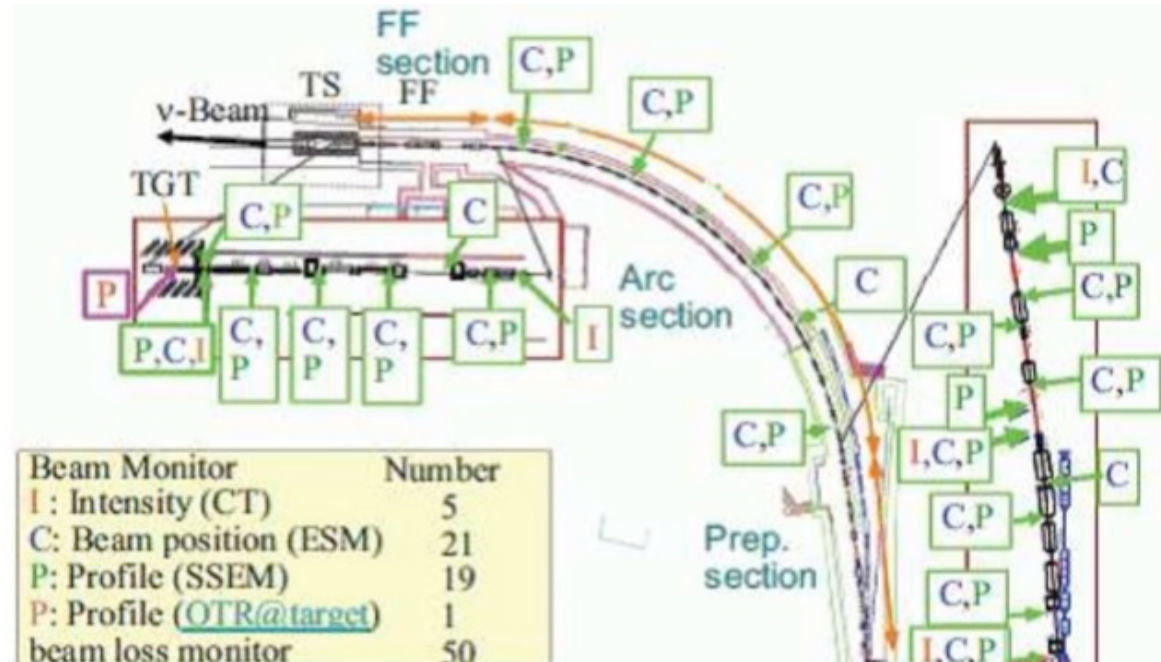
- ・SSEM(ビームプロファイルモニター)

...破壊型

強度の損失が非常に大きい

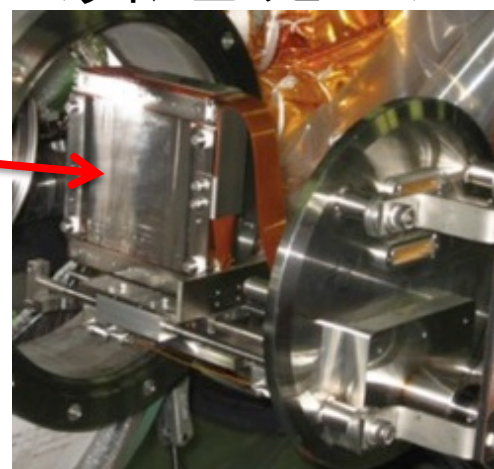
(割合: 5×10^{-5})

ビーム増強に対応した
非破壊型ビームモニターが必要



ニュートリノビームライン上のビームモニター

ここに
ビームが当たる

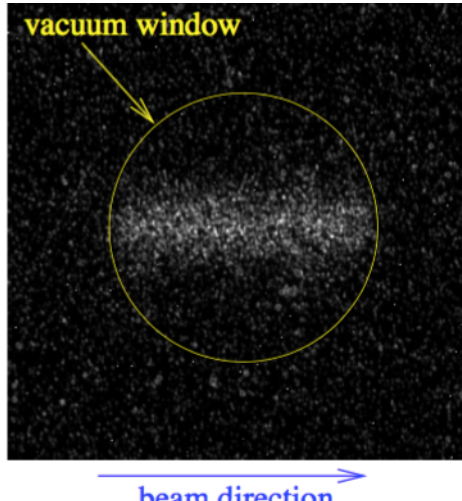


SSEM →
(上図中P)

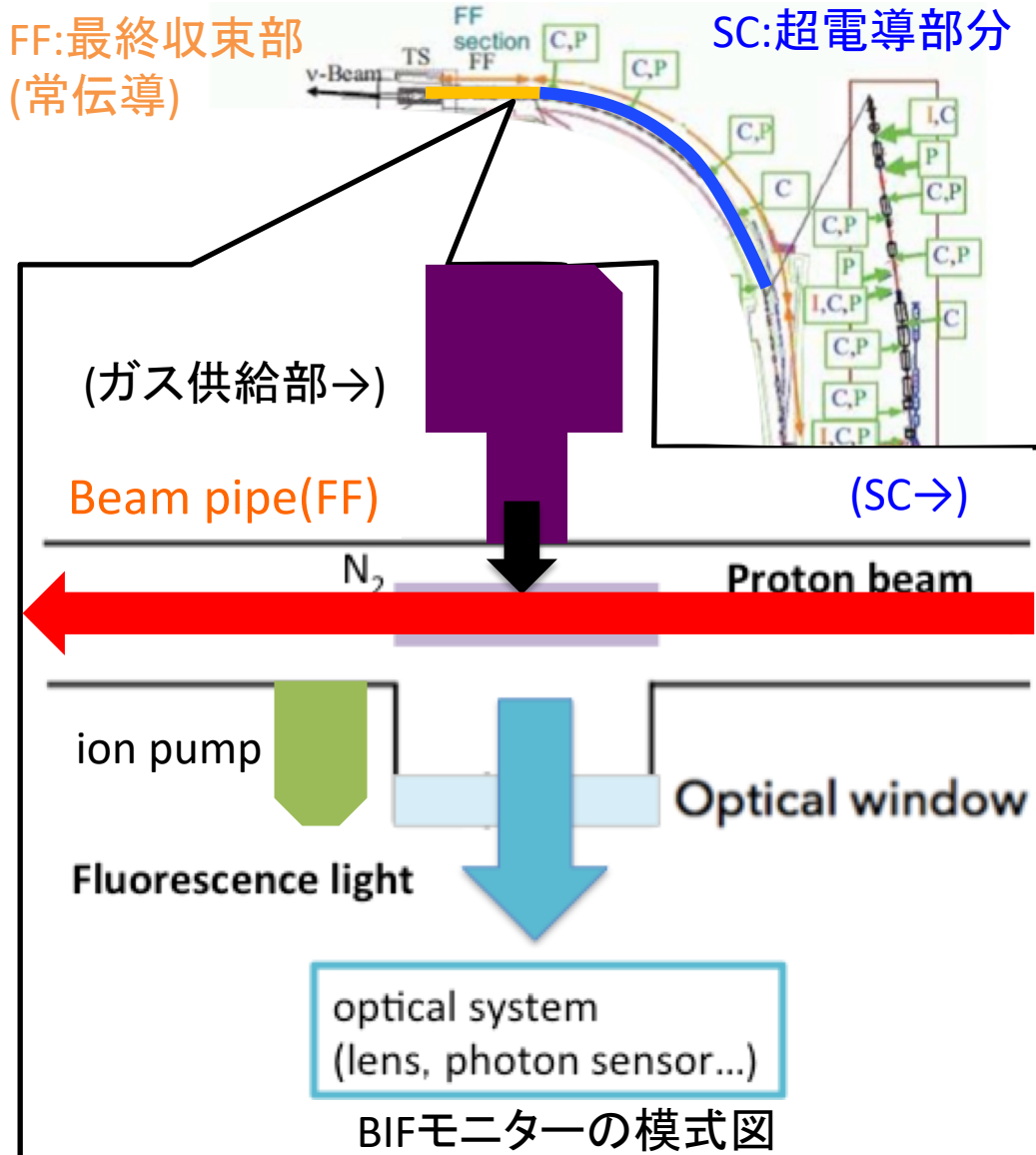
Beam Induced Fluorescence(BIF) モニター

ビーム損失: 10^{-9} (10^{-2} Pa)

- ・ビームライン上のガス分子(N_2)と陽子の相互作用からの蛍光を利用した非破壊型ビームモニター
- ・1000光子検出... 10^{-3} Pa ($\leftarrow 10^{-6}$ Pa)
→ガスを外部から供給する



- ・重イオンビーム(200MeV/u、 Xe^{48+})のプロファイル例(~0.1 Pa , GSI)
F.Becker et al., "Beam induced fluorescence(BIF) monitor for transverse profile determination of 5 to 750 MeV/u heavy ion beams"より



排気速度の実験

$$V \frac{dP}{dt} = -SP + Q$$

(排気方程式)

圧力: $P[\text{Pa}]$ 、流入量: $Q[\text{Pa} * \text{L}/\text{s}]$ 、時間: $t[\text{s}]$ 、
チャンバ一体積: $V[\text{L}]$ 、排気速度: $S[\text{L}/\text{s}]$

・ポンプ停止時($S=0$) ...①

$$Q = V \frac{dP}{dt}$$

:流入量=圧力変化

・定常状態(圧力変化=0) ...②

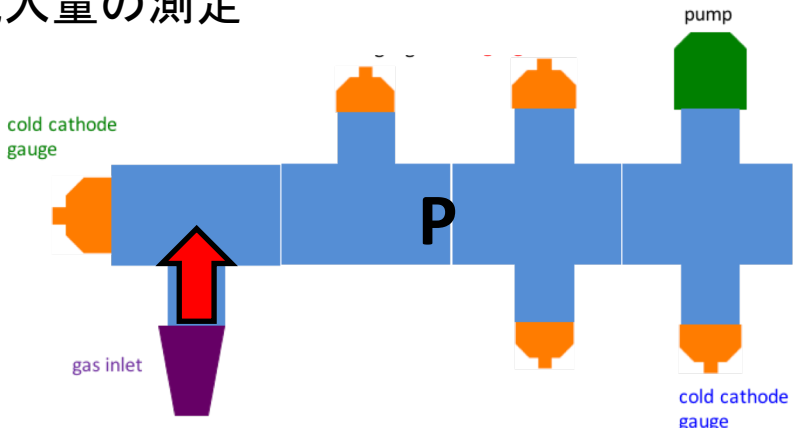
$$P_{eq} = \frac{Q}{S_{eff}}$$

P_{eq} : 平衡圧力

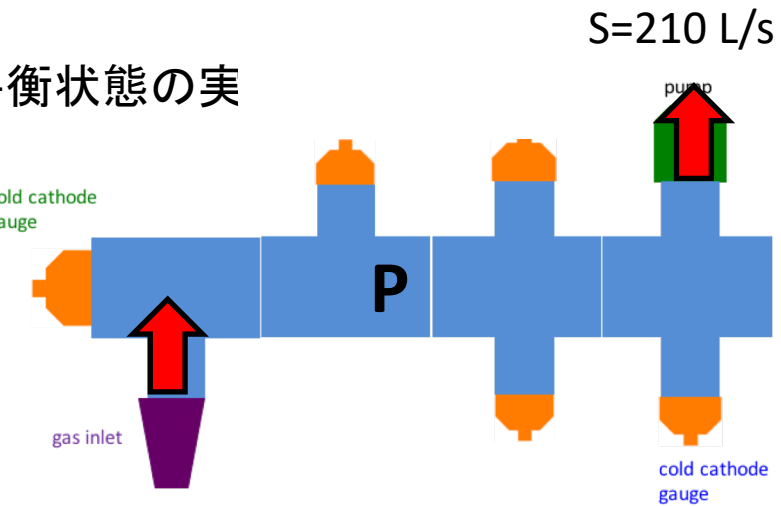
→平衡圧力 P_{eq} と流入量 Q から
排気速度 S がわかる

流入量と平衡圧力の測定

①流入量の測定



②平衡状態の実

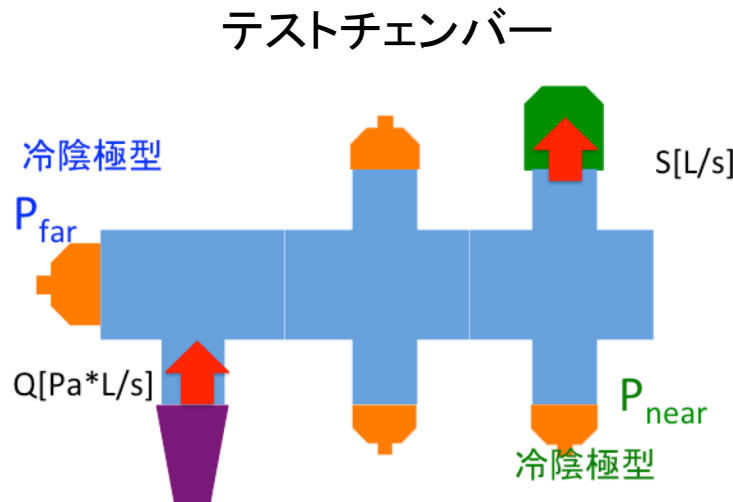


$S=210 \text{ L/s}$

実効排気速度とテストチェンバー

圧力変化しない時(定常状態): $P_{eq} = \frac{Q}{S_{eff}}$

P_{eq} :平衡圧力
 S_{eff} :実行排気速度
Q:流入量



$$\frac{1}{S_{eff}} = \frac{1}{S} + \sum_i \frac{1}{C_i}$$

S :ターボ分子ポンプの排気速度
(カタログ値 $S=210[\text{L/s}](\text{N}_2)$)

C_i :ポンプから測定場所までの
配管のコンダクタンス

- 複雑な形状のコンダクタンス...シミュレーションが必要

圧力シミュレーションより P_{eq} - Q プロットを作成し比較....COMSOL、Molfow

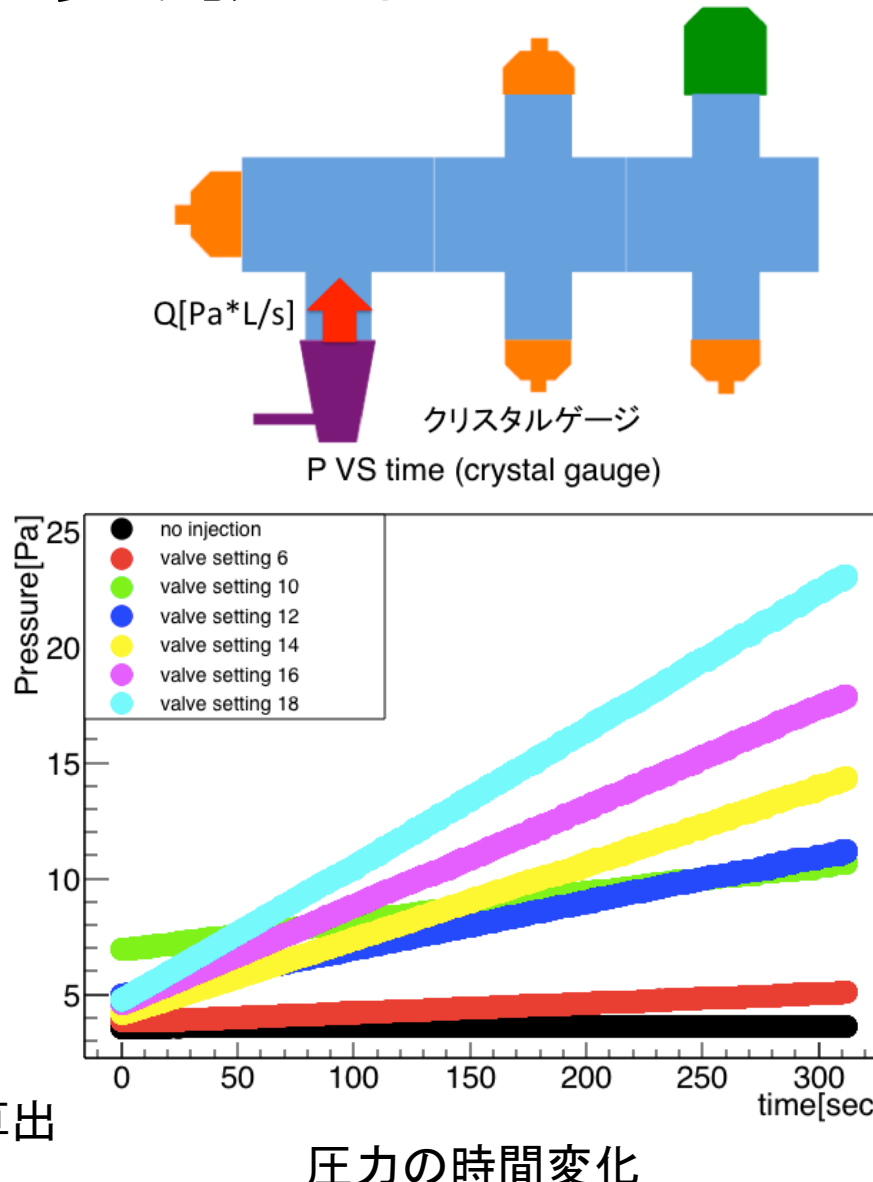
排気速度の実験～①流入量測定～

(1) ~1Paほどまで引いたのち
真空ポンプを停止させる



(2) ノブの回転量を調整後
パルスバルブを開いてN₂供給、
→圧力変化を測定

$$Q = V \frac{dP}{dt} \quad : \text{傾きより流量を算出}$$



Comparison of Pressure Change between Expectation and Measurement

$$P(t) = \begin{cases} \frac{Q}{S}(1 - e^{-\frac{S}{V}t}) + P_f & (t_{open} < t \leq t_{close}) \\ P(t = t_{close}) e^{-\frac{S}{V}(t-t_{close})} + P_f & (t_{close} < t) \end{cases}$$

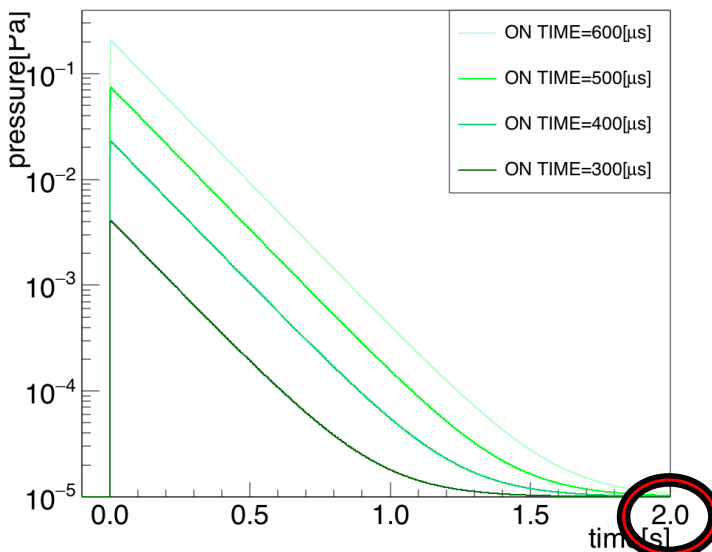
* $t_{close} = t_{open} + \text{ON TIME}$ 、 $P_f = 1e-5 \text{ [Pa]}$ 、 $V = 20.5 \text{ [L]}$ (long chamber)

(COMSOL)	far	near
S[L/s]	128	193

ON TIME[μs] (exp.)	300	400	500	600
Q[Pa*L/s](0.2 MPa)	283	1196	3098	7144

expectation @ far

expected pressure pulse(far)

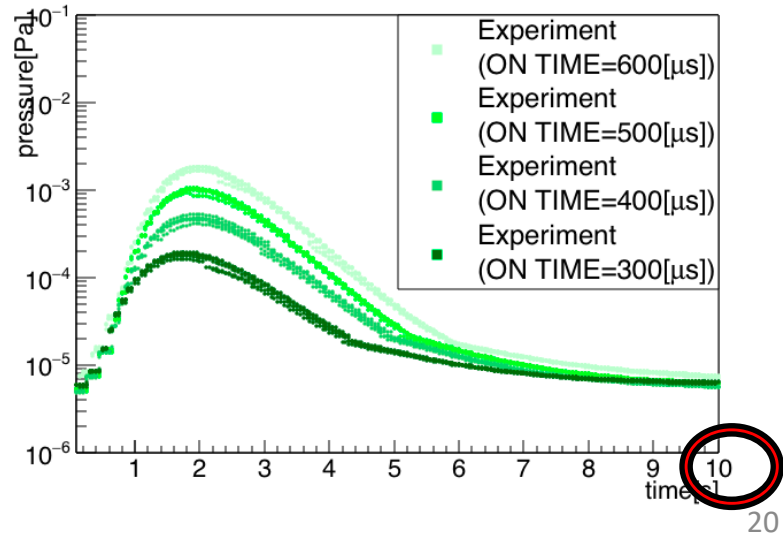


huge difference
...gauge response?



Experimental result @ far

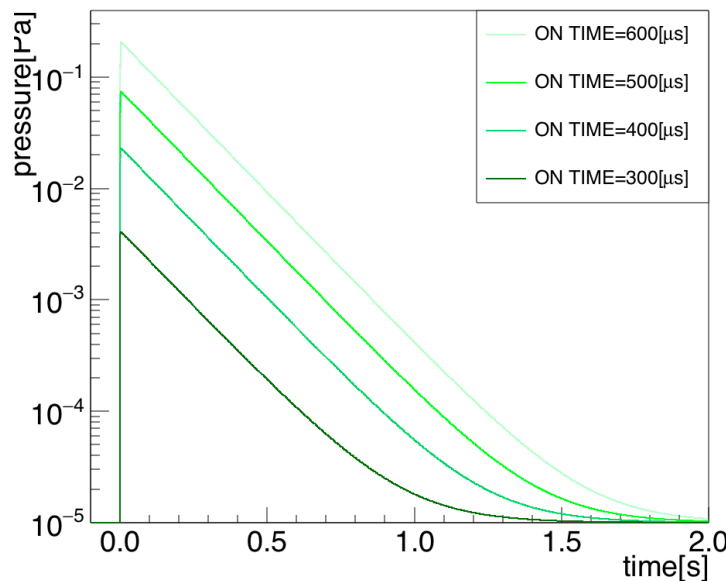
Exp. result(far)



実験結果とConvolutionによる解析

$P(t)$:シミュレーション+パルス流量
からの予想圧力変化

expected pressure pulse(far)



$$\text{Convolution: } h(t) = \int P(t)G(t - \tau)d\tau$$

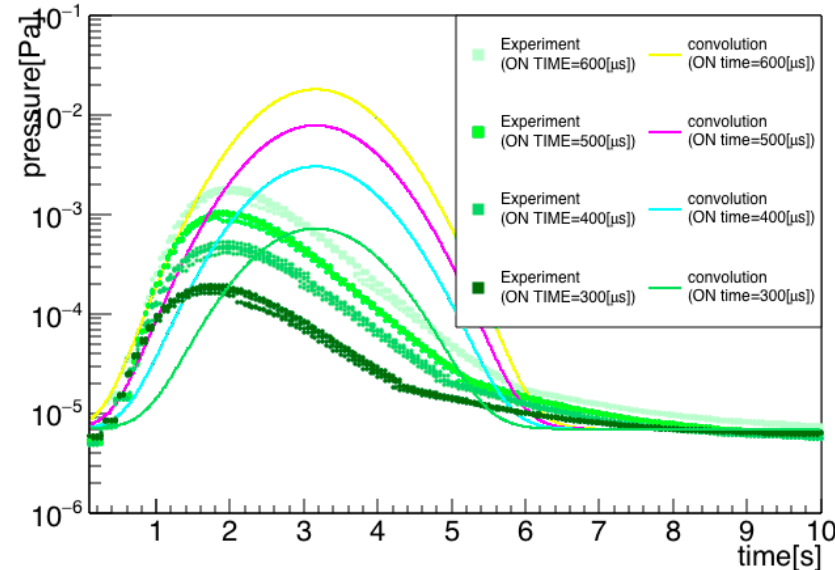
$P(t)$:期待される圧力変化(farの S_{eff} を使用)

$G(t)$:ゲージの応答関数
(Delayed Gaussianを使用)

$$\frac{1}{\sqrt{2\pi}\sigma} \exp \left\{ -\frac{(t + offset)^2}{2\sigma^2} \right\}$$

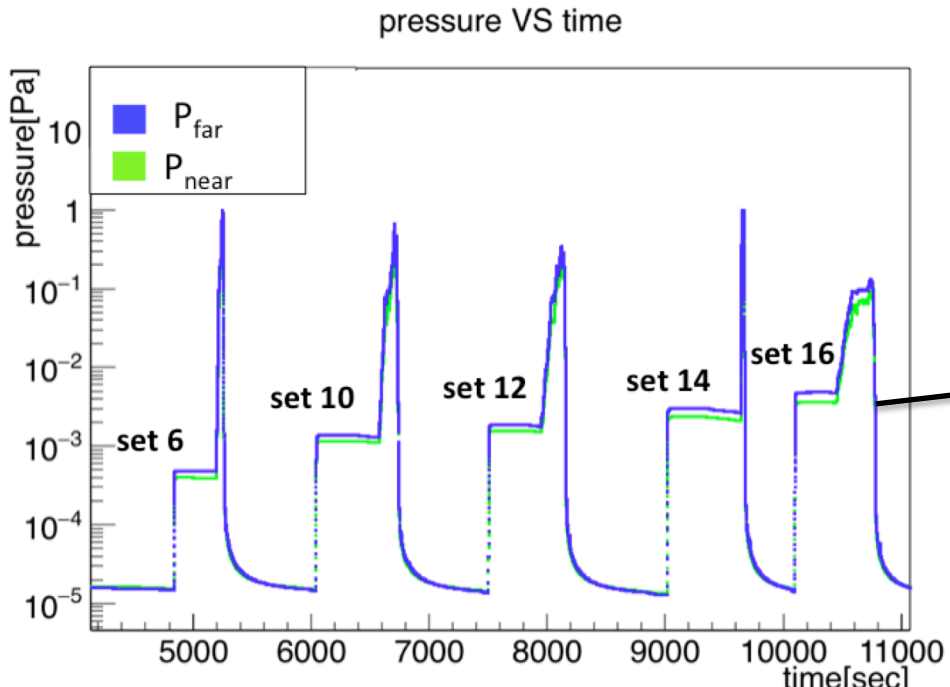
測定結果(far、点)と
Convolution(線、 $\sigma=0.7[s]$ offset=3[s])

convolution and Exp. result(far, $\sigma=0.7[s]$, offset=3[s])

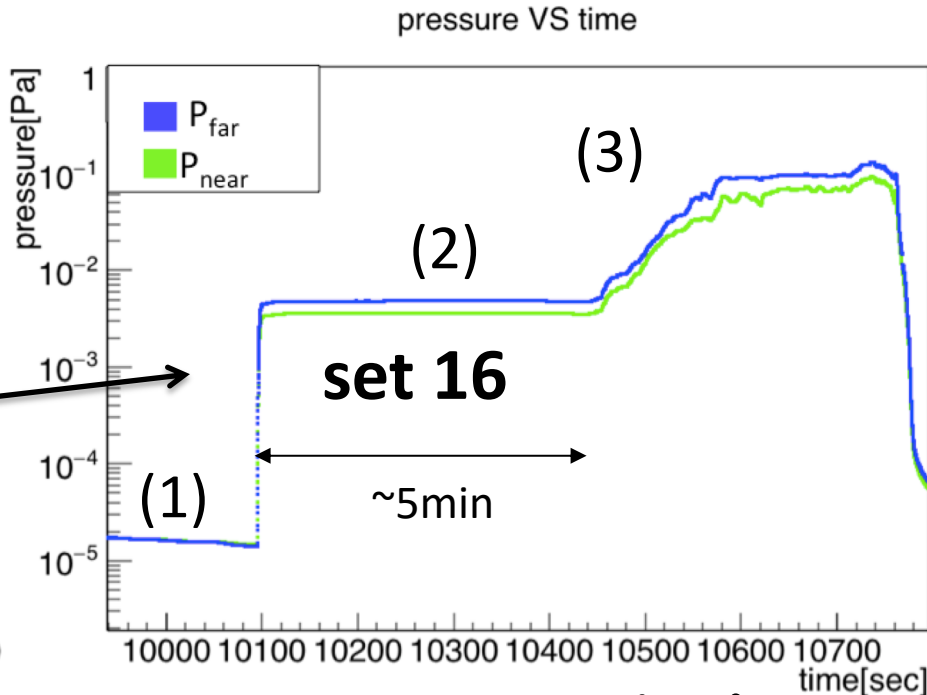


- ・他のパラメーターや応答関数による圧力
パルスの理解
- ・圧力変化 $P(t)$ のシミュレーション(計算中)

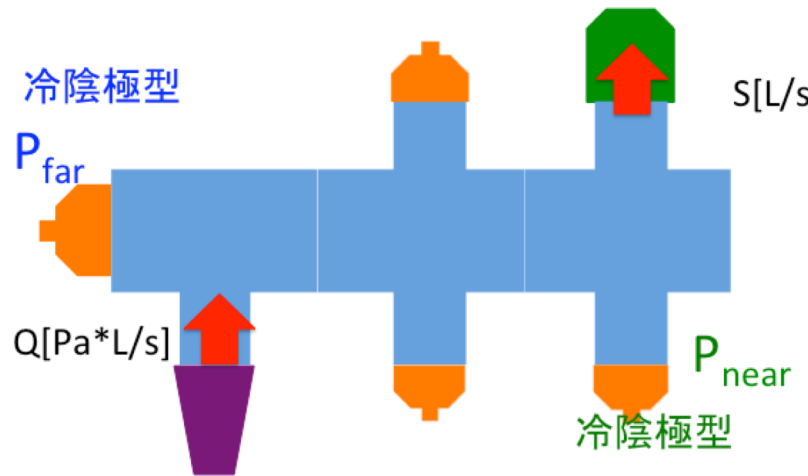
排気速度の実験～②平衡圧測定～



圧力変化のプロット



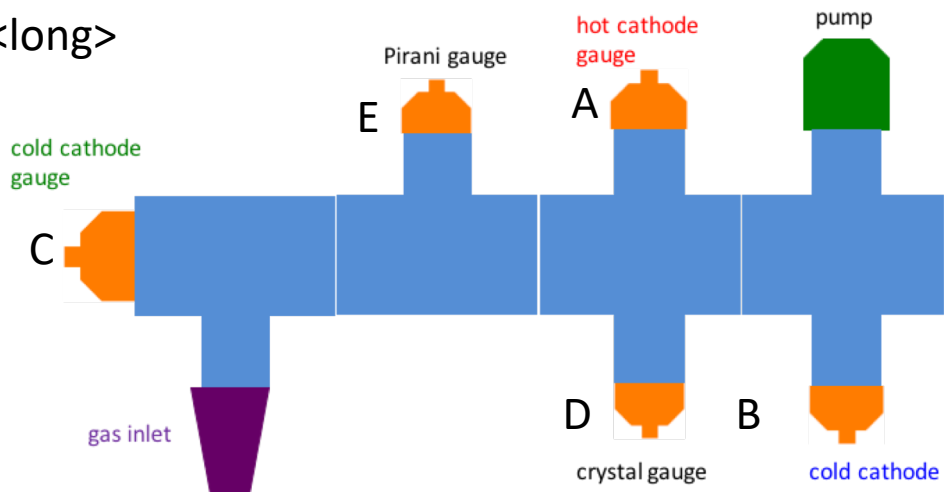
- (1) 10^{-5} Pa ほどまで分子ポンプで排気
- (2) リークバルブをセットして
パルスバルブを5分間開く
- (3) リークバルブのベントを行う



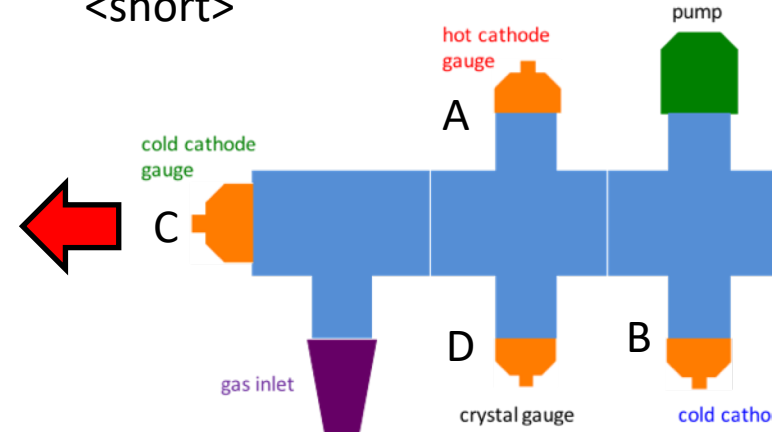
平衡部分の圧力を測定
 $\rightarrow P_{eq}-Q$ プロットを作成

テストチャンバー

<long>



<short>



<真空計>

A: 熱陰極電離真空計
($10^{-2} \sim 10^{-7}$ Pa)

B,C: 冷陰極電離真空計
($1 \sim 10^{-6}$ Pa)

D: クリスタルゲージ
($10^5 \sim 10^{-2}$ Pa)

E: ピラニーゲージ(long)
($10^5 \sim 10^{-2}$ Pa)

<供給部>

- ・パルスバルブ



全長:840 mm

->1020 mm

体積

:15.6 [L](short)

->21.8 [L](long)

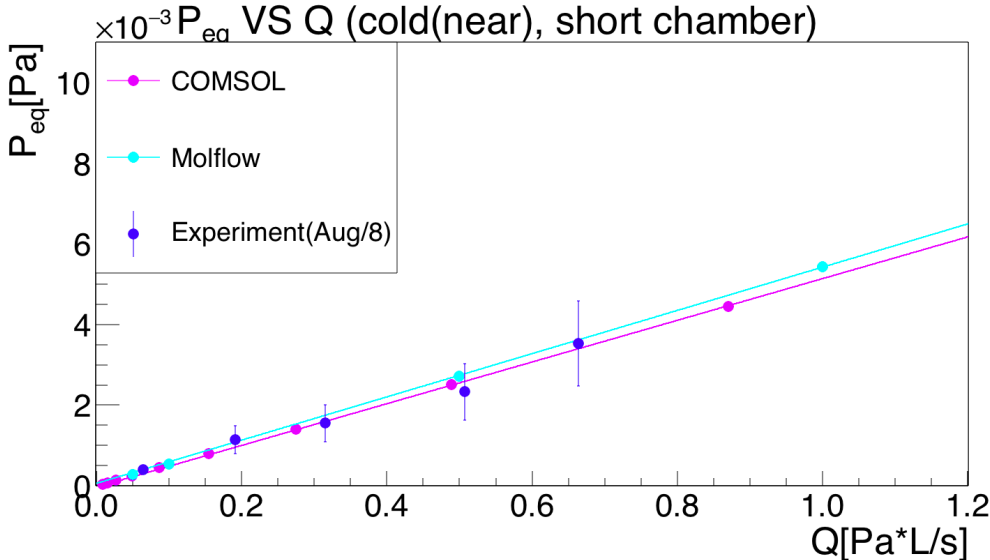
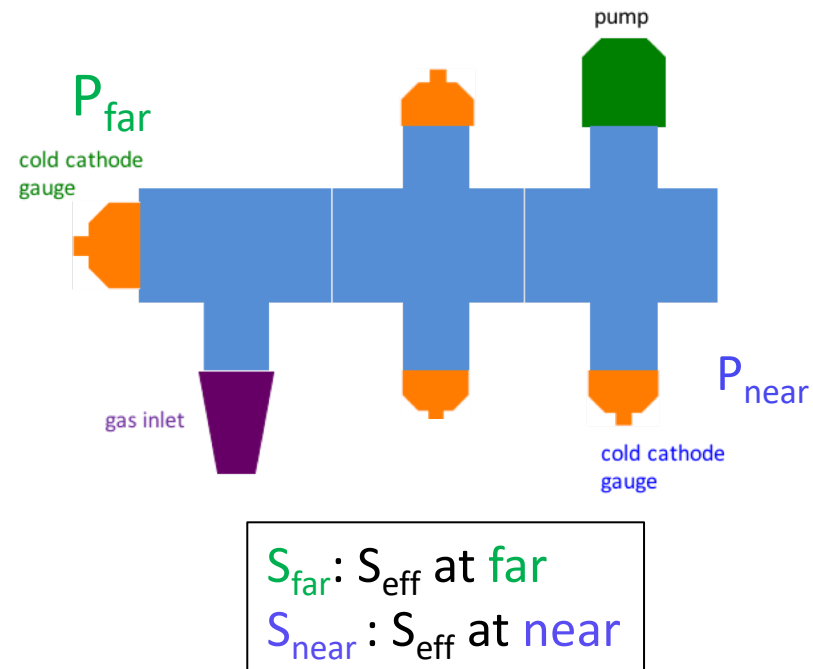
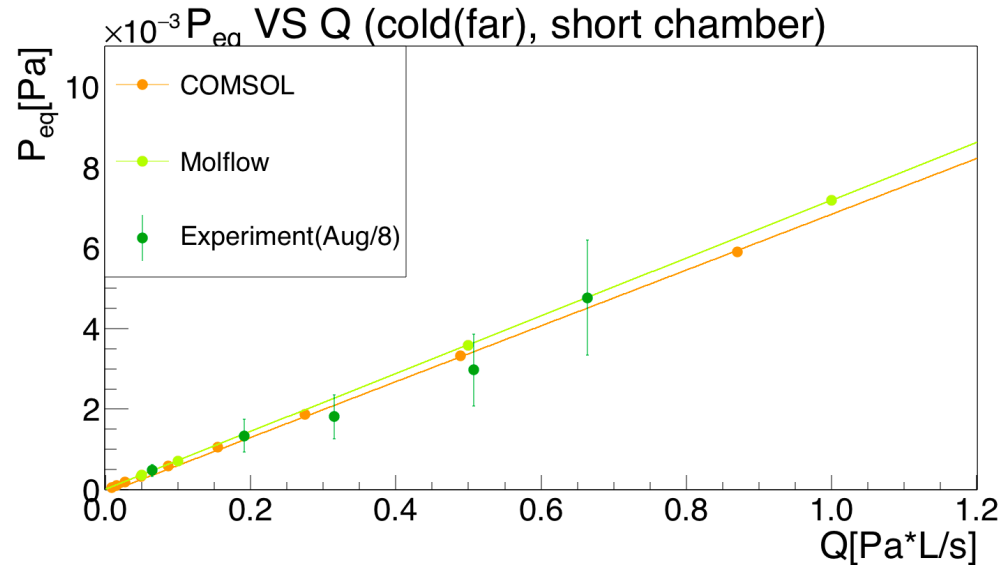
<真空ポンプ>

- ・ロータリーポンプ
- + ターボ分子ポンプ
(排気速度:210L/s)



Long テストチャンバーの側面図

実行排気速度の結果 (Short)



COMSOL: $S_{far} \sim 147$ [L/s], $S_{near} \sim 193$ [L/s]

Molflow: $S_{far} \sim 139$ [L/s], $S_{near} \sim 183$ [L/s]

実験 (測定圧力に30%の不定性)

: $S_{far}: 165 \pm 34$ [L/s], $S_{near}: 207 \pm 43$ [L/s]

真空系のシミュレーション

真空中($<10^{-2}$ Pa)の分子

分子の平均自由行程 $\lambda \sim$ チェンバーのサイズ(分子流領域)

・分子間の相互作用はほとんどない

...理想気体(Maxwell-Boltzmann 速度分布)

・気体はチェンバー内壁とのみ相互作用

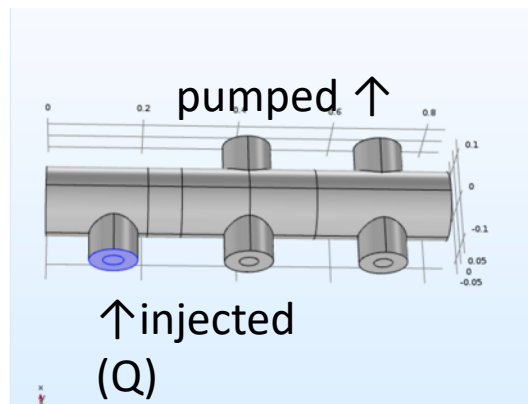
...流れは形状によって決まる(管のコンダクタンス: C_i)

→排気速度(S)は測定場所・形状によって変化する(実行排気速度: S_{eff})

$$P_{eq} = \frac{Q}{S} \rightarrow \frac{Q}{S_{eff}}$$

COMSOL

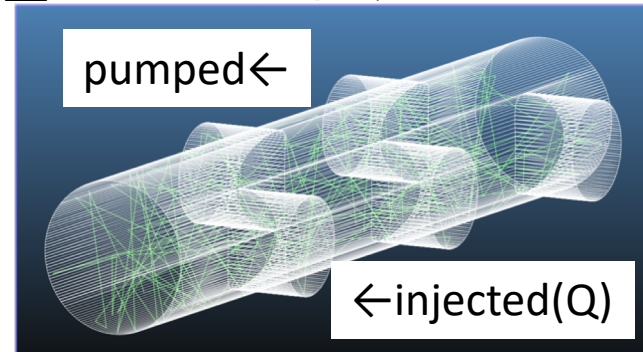
有限要素法を用いた
汎用物理シミュレーション
→分子流を代数的に計算可能



・平衡状態のみ計算可

Molflow+

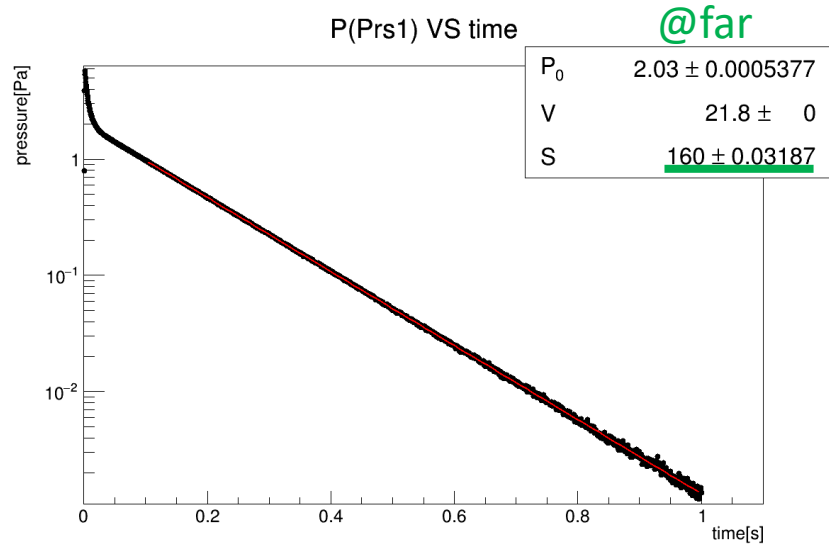
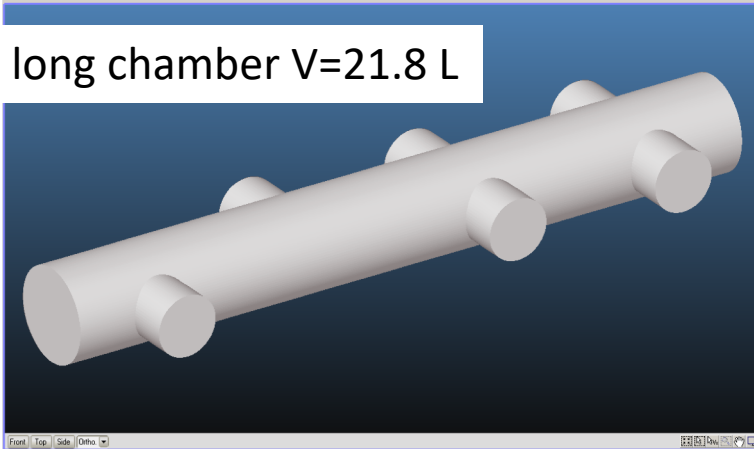
CERNが提供しているMonte Carlo法
による多数のテスト粒子を用いた
真空シミュレーションソフト



・時間変化(パルス的供給)も扱える

long Chamber(Pulsed Injection)

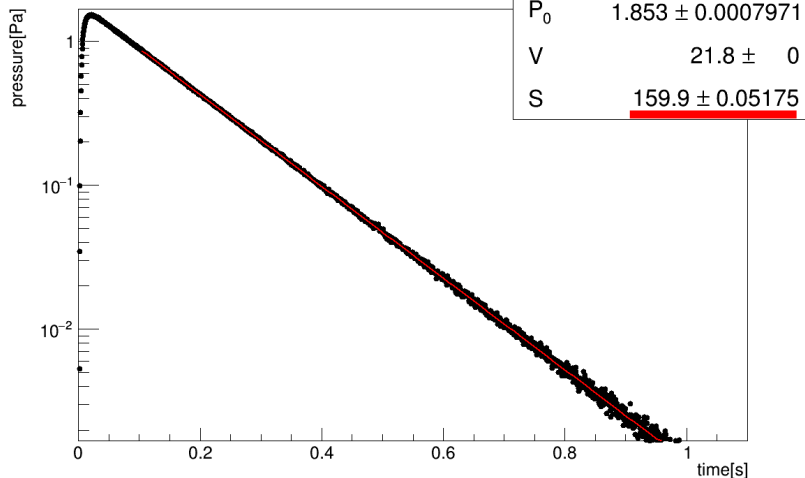
*fit with $P = P_0 e^{-\frac{S}{V}t}$ from 0.1 s



$Q=5000\text{Pa*L/s}$ 、 $500\mu\text{s}$

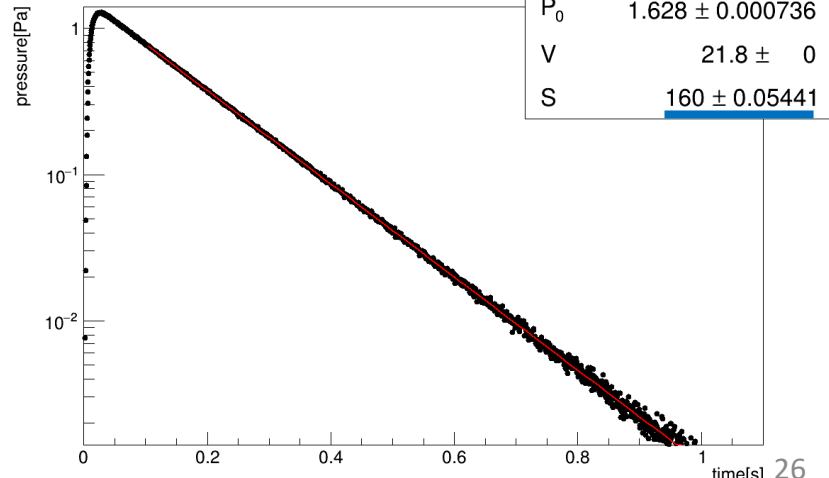
@mid

almost same S



P(Prs3) VS time @near

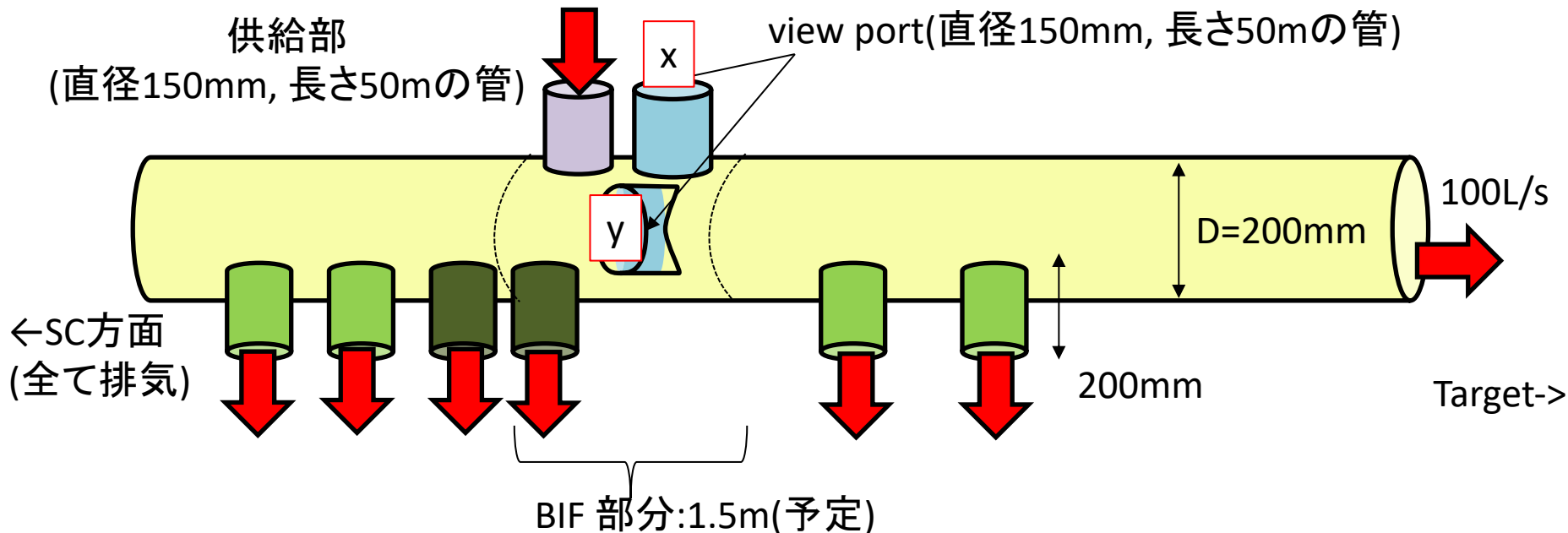
@near



FF 部分のシミュレーション(Molfow+)

・シミュレーション系の全長:36m
SC出口-BIF(view-port):12.5m

・view portの圧力変化
について注目

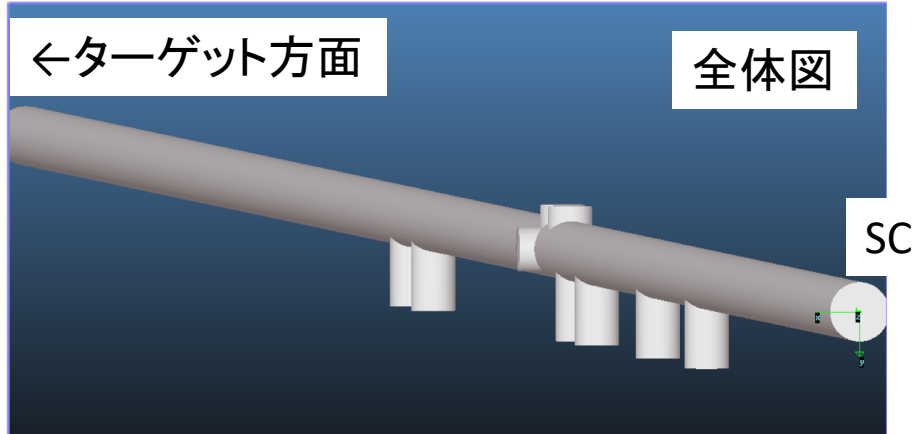


・イオンポンプ:(SC 出口より)6.6m, 8.7m, 18.4m, 19.3m + 11.5m, 11.83m (追加)
排気速度 500L/s ... 直径 200mm, 長さ 200mm の菅によって接続

シミュレーション...・平衡状態

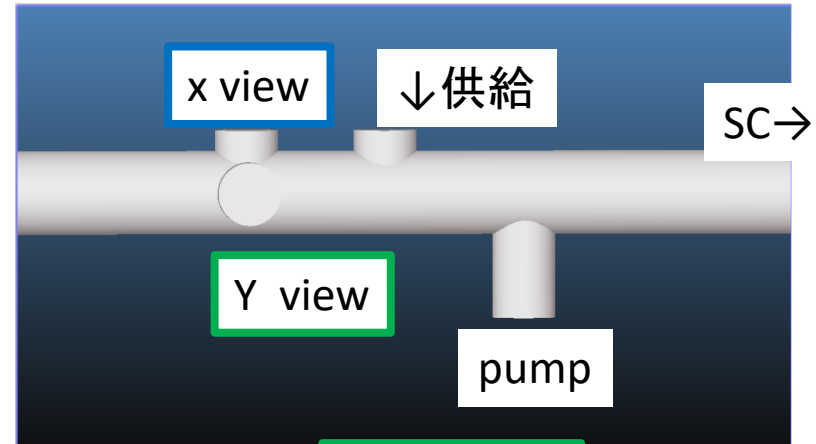
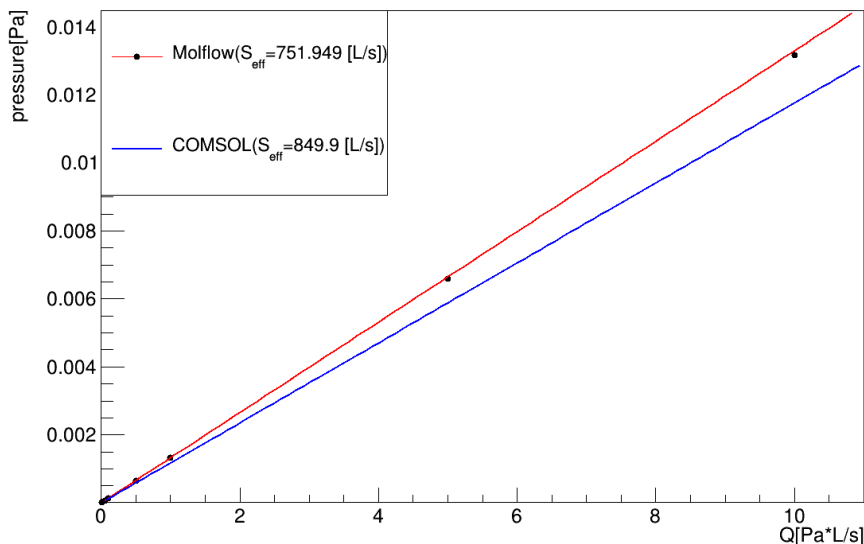
・パル素敵供給 ($Q=10 \text{ Pa} * \text{L}/\text{s}$, 供給時間=1ms, 500μs, 100μs)

平衡状態におけるQ-P_{eq} プロット



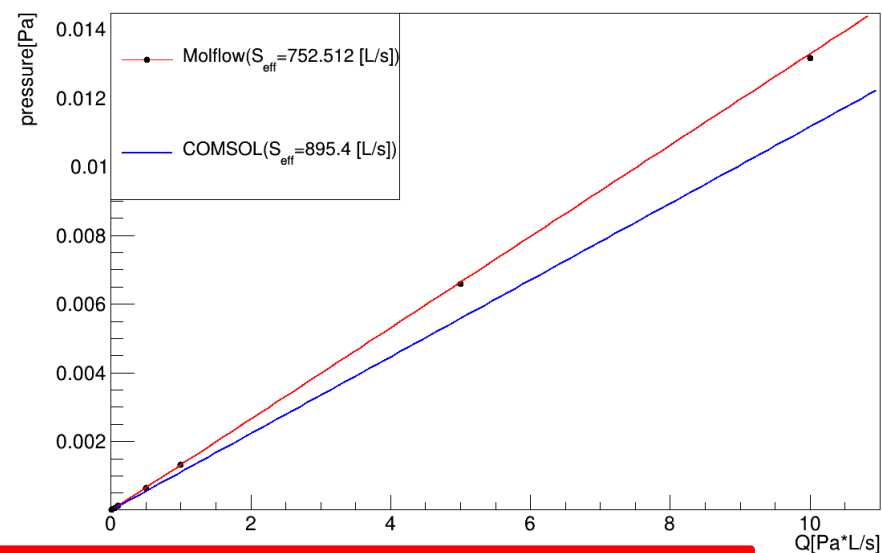
X view Port

P VS Q



Y view Port

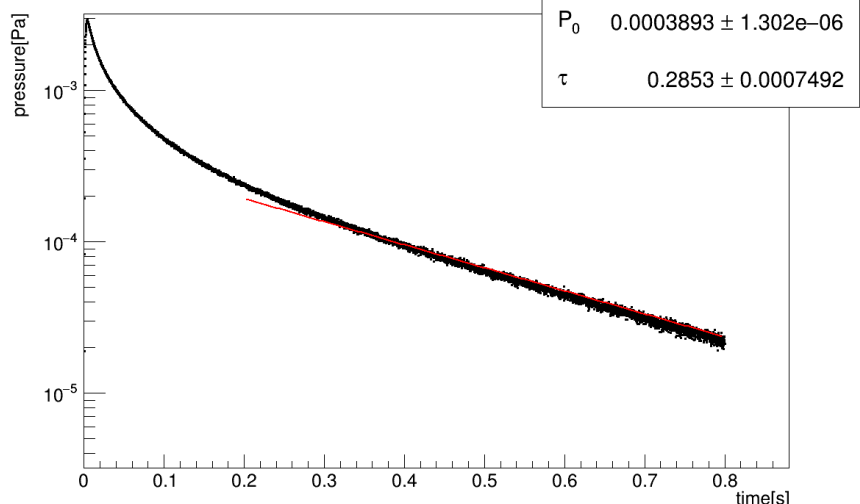
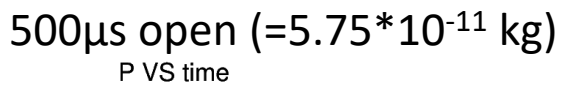
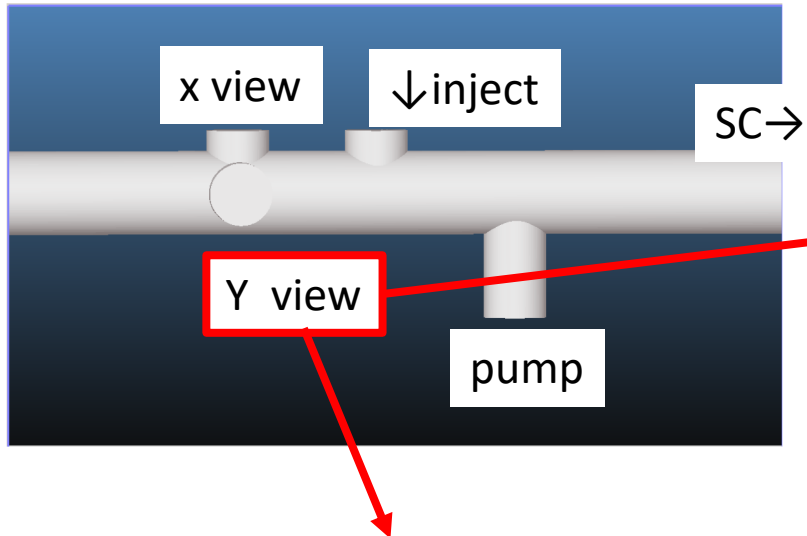
P VS Q



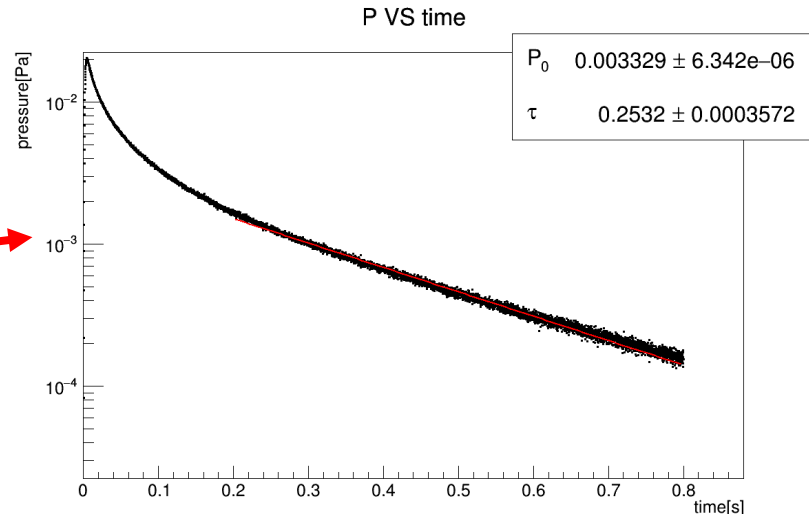
2つのシミュレーションに違いが見られる

パルス的供給時の圧力変化(FF)

$*Q=10 \text{ [Pa*L/s]}$ 、 $P = P_0 e^{-\frac{t}{\tau}}$ で $0.2s$ から fit



1ms open ($=1.15 \times 10^{-10} \text{ kg}$)



- ・圧力ピークが鋭い
→時間分解能をあげて詳細を計算中

- ・後半...指数関数的減少?

$$S = \frac{V}{\tau} \quad \text{より}$$

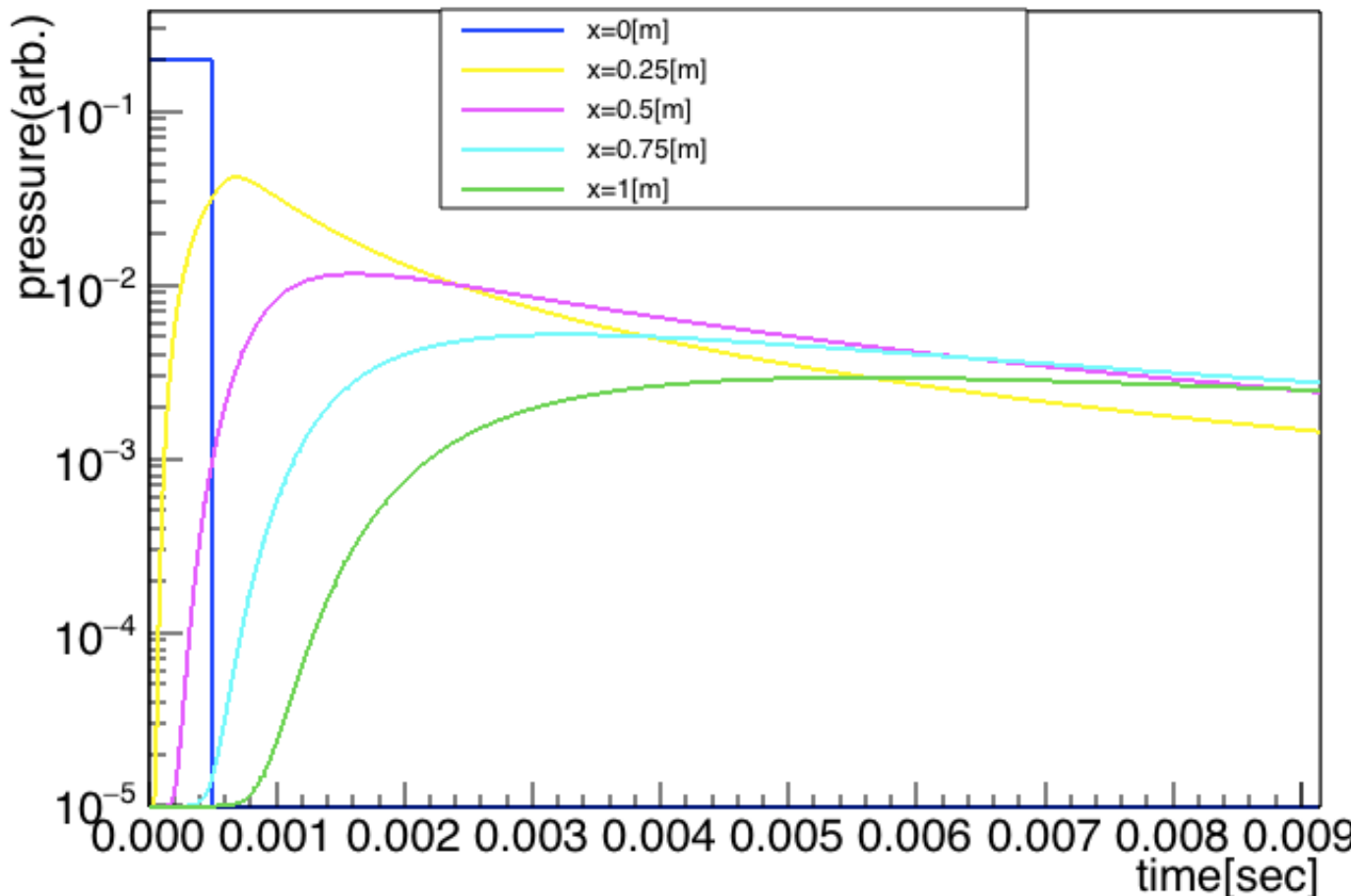
- ・FF全体: 1156 L
→ $S_{\text{eff}} \sim 4600 \text{ L/s}$
- ・BIF部分(1.5 m):
→ $S_{\text{eff}} \sim 190 \text{ L/s}$

(平衡状態からの予測: ~750 L/s)
圧力パルスは平衡の S_{eff} とは異なる?

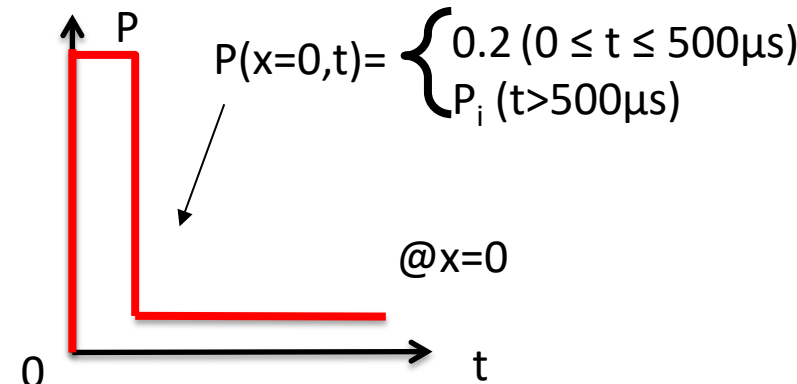
拡散に伴う圧力変化

$$\frac{\partial}{\partial t} P(x, t) = D \frac{\partial^2}{\partial x^2} P(x, t)$$

diffusion of pressure



(b) boundary and initial conditions



$$P(x \neq 0, t=0) = P_i$$

$$P(x \rightarrow \infty, t) = P_i (= 10^{-5})$$

$$D = \frac{\lambda^* \bar{v}}{3}$$

$v=471 \text{ m/s } (\text{N}_2, 20^\circ\text{C})$,
 λ^*
 $=20[\text{cm}](\text{diameter of tube})$

Summary

- R&D of pulsed injection system is in progress
 - Measurements of the effective pumping speed of test chambers are consistent with simulations(COMSOL, Molflow)
 - Measured pressure change is different compared with the calculation
 - ...understanding gauge response is going on
 - ...one of the causes is pulse flow understanding
- >plan to improve the pulse flow measurement
- >time-depended simulation with Molflow is under studying

